

文章编号: 1000-7032(2009)02-0243-04

# 溅射气氛和退火方式对硅纳米晶的形成及发光特性的影响

胡峰, 衣立新\*, 王申伟, 高华, 何桢

(北京交通大学 光电子技术研究所发光与光信息技术教育部重点实验室, 北京 100044)

**摘要:** 利用磁控溅射技术溅射硅靶, 通过调节溅射气氛在硅衬底上生长了  $\text{SiO}/\text{SiO}_2$  超晶格, 热退火处理后超晶格中的  $\text{SiO}$  发生相分离得到硅纳米晶。通过比较不同退火方式对于硅纳米晶的形成的影响发现, 管式炉退火处理的样品给出非常强的室温光致发光, 其发光峰的峰位随着硅纳米晶尺寸的增大而红移, 且管式炉退火比快速热退火更有利于硅纳米晶的形成。

**关 键 词:** 硅纳米晶; 超晶格; 磁控溅射; 热退火

中图分类号: O482.31

PACS: 78.55Mb

PACC: 3250F; 7855

文献标识码: A

## 1 引言

硅是非常重要的半导体材料, 室温下多孔硅红色光致发光(PL)的发现引发了人们对半导体纳米颗粒, 特别是多孔硅和硅纳米晶(nc-Si)发光特性研究的兴趣<sup>[1~4]</sup>。20世纪90年代初Canham<sup>[5]</sup>在多孔硅中发现了由于量子限域效应引起的室温可见光波段的PL。Lockwood等<sup>[6]</sup>在用分子束外延(MBE)和紫外臭氧处理方法制备的a-Si/SiO<sub>2</sub>超晶格中观察到带隙的蓝移和室温下的PL。Pavesi等<sup>[7]</sup>报道了采用离子注入法在SiO<sub>2</sub>基质中注入Si<sup>+</sup>可以形成纳米硅的有序分布, 在此结构中观察到近红外(~800 nm)的PL。研究表明, 实现硅基材料的稳定高效的室温可见发光, 关键在于精确控制纳米硅的尺寸分布和表面结构, 而且获得尺寸可控、高密度的nc-Si结构对于研究硅基材料发光机理非常重要。德国的科研工作者已经发现了一种新的制备硅纳米晶的方法<sup>[8]</sup>, 该方法旨在通过SiO/SiO<sub>2</sub>超晶格结构薄膜的制备来达到对硅纳米晶的尺寸、尺寸分布、位置和密度进行独立控制。目前, 通过离子注入<sup>[9]</sup>、热蒸发<sup>[10]</sup>和等离子体增强化学气相沉积(PECVD)<sup>[11]</sup>等方法可以得到nc-Si粒, 但利用磁控溅射制备硅纳米晶的方法还有待进一步研究。

本文利用磁控溅射法制备了SiO/SiO<sub>2</sub>超晶

格, 通过高温退火从该超晶格得到nc-Si, 并借助于红外吸收(FTIR)和PL等手段, 对制备条件对硅纳米晶的形成及发光特性的影响进行了探讨。

## 2 实验

利用Line 420型磁控溅射仪溅射高纯Si靶(99.99%), 在溅射功率(100 W)相同的情况下, 通过改变溅射气氛中Ar与O<sub>2</sub>的流速比(Ar/O)分别制备了SiO薄膜和SiO<sub>2</sub>薄膜, 并交替生长得到了SiO/SiO<sub>2</sub>超晶格样品A(膜厚SiO/SiO<sub>2</sub>为2 nm/4 nm)和样品B(膜厚SiO/SiO<sub>2</sub>为4 nm/4 nm)。随后样品在N<sub>2</sub>环境中分别于1 000 °C高温下在管式炉中退火1 h或利用快速热退火(RTP)退火1 min。退火后的样品在325 nm氘灯光源的激发下测量了其室温下的PL光谱, 同时对部分样品的FTIR光谱进行了分析。

## 3 结果与讨论

### 3.1 nc-Si的制备

在恒定溅射功率的情况下, 改变溅射过程中的Ar/O来沉积Si/O不同的体材料SiO<sub>x</sub>薄膜, 并借助FTIR光谱的检测分别找出适合沉积SiO和SiO<sub>2</sub>膜的溅射气氛。

图1为3种不同Ar/O情况下所沉积的SiO<sub>x</sub>薄膜样品的FTIR光谱图。从图中可以看到, 当

收稿日期: 2008-10-25; 修订日期: 2008-12-03

基金项目: 国家自然科学基金(60577022)资助项目

作者简介: 胡峰(1982-), 男, 山东人, 主要从事硅基半导体纳米材料及器件的研究。

\*: 通讯联系人; E-mail: lxyi@bjtu.edu.cn

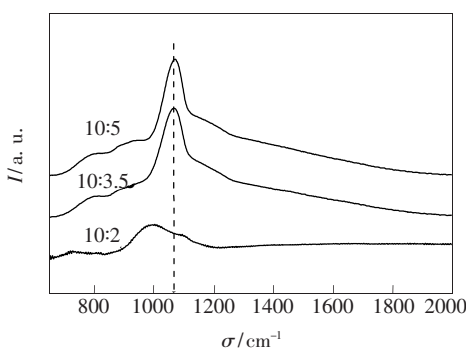


图1 不同Ar/O溅射气氛中所沉积 $\text{SiO}_x$ 薄膜的红外吸收光谱

Fig. 1 FTIR spectra of  $\text{SiO}_x$  films deposited with different Ar/O proportion

Ar/O为10:2时,吸收峰位在 $980\text{ cm}^{-1}$ 左右;而Ar/O为10:5时,吸收峰位在 $1080\text{ cm}^{-1}$ 左右。据文献报道<sup>[10]</sup>, $1080\text{ cm}^{-1}$ 吸收峰对应于 $\text{SiO}_2$ 的吸收峰, $980\text{ cm}^{-1}$ 峰为 $\text{SiO}$ 的吸收峰。由此可以推断:在Ar/O为10:2时,所沉积的薄膜为 $\text{SiO}$ ;而在Ar/O为10:5时,所沉积的薄膜为 $\text{SiO}_2$ 。于是,我们就得到了制备 $\text{SiO}/\text{SiO}_2$ 超晶格结构所需的实验参数,并在此基础上制备了前述的超晶格样品A(2 nm/4 nm)和B(4 nm/4 nm)。

在 $\text{N}_2$ 保护下,经 $1000\text{ }^\circ\text{C}$ 高温退火后超晶格样品A和样品B的PL光谱,如图2所示。图中样品B的峰位在 $730\text{ nm}$ 左右,而样品A的峰位蓝移到 $690\text{ nm}$ 左右。由于A、B样品中的nc-Si均来自于超晶格中 $\text{SiO}$ 层的相分离,唯一不同的是两者的膜厚不一样,根据限制性生长的原理<sup>[8]</sup>,样品A中的nc-Si尺寸约为2 nm,而样品B的则约为4 nm。

理论上,体材料硅是一种间接带隙半导体材

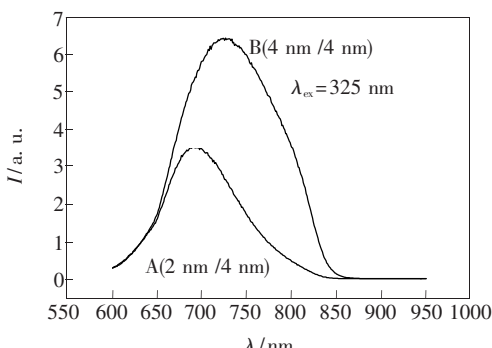


图2 室温下,退火后超晶格样品A和B的光致发光光谱

Fig. 2 PL spectra of superlattice sample A and B after pipe furnace annealing

料,发光效率极低。但当硅晶粒尺寸减小到5 nm或更小时,由于量子限域效应,其能带结构发生了变化,由间接带向准直接带转变,而且带边向高能态迁移,从而使禁带宽度增大,因此可以观察到近红外甚至可见光发射。本文制备的样品中nc-Si的尺寸均小于5 nm,其室温下给出强烈的可见光发射,且随着nc-Si尺寸的减小,其相应的荧光光谱也发生蓝移。这些实验现象很好地证实了上述的理论分析。

### 3.2 退火方式对nc-Si的形成及其发光特性的影响

在nc-Si的制备过程中,退火方式也是一个重要的因素,从而直接影响其发光特性。图3给出了样品B分别经过 RTP 退火与管式炉退火后的室温PL光谱。由图可见,RTP退火样品发射光谱的峰位相对于管式炉退火样品发射光谱的峰位,有明显的蓝移。这说明了相对于管式炉退火,RTP退火形成的nc-Si的尺寸更小<sup>[8]</sup>。同时我们还注意到,RTP退火样品的发光强度明显弱于管式炉退火样品的发光强度(RTP退火样品的发光强度放大100倍以后才能和管式炉退火的进行比较)。这可能是由于RTP退火过程中,退火时间较短,从而形成nc-Si的数量较少的缘故。

为了分析退火方式对nc-Si发光特性的影响的原因,我们对样品B分别进行了RTP退火、管式炉退火和未退火样品FTIR光谱的比较。如图4所示,相对于未退火样品,经过RTP退火与管式炉退火样品的FTIR光谱峰位(RTP退火为 $1050\text{ cm}^{-1}$ ,管式炉退火为 $1080\text{ cm}^{-1}$ )均发生了明显地红移,而且其红外吸收强度逐渐增强、吸收峰的

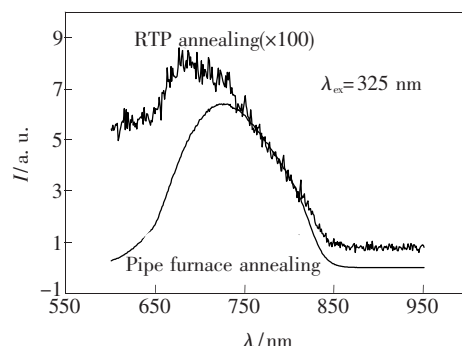


图3 管式炉退火和RTP退火处理对样品B室温光致发光影响的比较

Fig. 3 PL spectra of superlattice sample B after pipe furnace annealing and RTP annealing

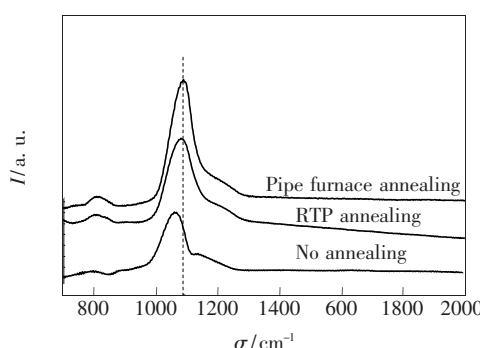


图4 管式炉退火和 RTP 退火处理对超晶格样品 B 红外吸收光谱的影响

Fig. 4 FTIR spectra of superlattice sample B without annealing, after pipe furnace annealing or after RTP annealing respectively

光谱波形越来越尖锐。由于  $\text{SiO}_2$  的红外吸收恰好在  $1080 \text{ cm}^{-1}$ , 这说明对于  $\text{SiO}$  相分离制备 nc-Si 的过程而言, 管式炉退火效果更好。这一结果与图 3 中的光谱结果是相一致的。

## 4 结 论

采用磁控溅射的方法制备了非晶态  $\text{SiO}/\text{SiO}_2$  超晶格, 并分别使用管式炉退火和 RTP 退火处理得到了 nc-Si。通过对其 FTIR 和 PL 光谱分析发现, 最终所得的 nc-Si 的尺寸是由  $\text{SiO}/\text{SiO}_2$  超晶格中  $\text{SiO}$  层的厚度决定的。同时对 nc-Si 制备过程中退火方式的影响进行比较分析发现, 管式炉退火相对于 RTP 退火更有利于 nc-Si 的形成。

## 参 考 文 献:

- [1] Zhao Yue, Zhao Jie, Li Dongsheng, et al. Relationship between minority carrier life and morphology with luminescent properties of porous silicon [J]. *Chin. J. Lumin.* (发光学报), 2007, **28**(1):131-134 (in Chinese).
- [2] Wu Keyue, Huang Weiqi, Xu Li. Preparation of porous SiGe and emission enhancement in near-infrared area [J]. *Chin. J. Lumin.* (发光学报), 2007, **28**(4):585-588 (in Chinese).
- [3] Ni Mengying, Li Qingshan, Xu Jindong. The optical characteristic of organic dye embedded in annealed porous silicon [J]. *Chin. J. Lumin.* (发光学报), 2007, **28**(1):131-134 (in Chinese).
- [4] Li Hongliang, Zhai Jiang, Wan Yong, et al. Preparation of the oxidized porous silicon with stable surface composition and intense photoluminescence [J]. *Chin. J. Lumin.* (发光学报), 2008, **29**(5):879-884 (in Chinese).
- [5] Canham L T. Silicon quantum wire array fabrication by electrochemical and chemical dissolution of wafers [J]. *Appl. Phys. Lett.*, 1990, **57**(10):1046-1048.
- [6] Lockwood D J, Lu Z H, Baribeau J M. Quantum confined luminescence in  $\text{Si}/\text{SiO}_2$  superlattices [J]. *Phys. Rev. Lett.*, 1996, **76**(3):539-541.
- [7] Pavese L, Dal Negro L, Mazzoleni C. Optical gain in silicon nanocrystals [J]. *Nature*, 2000, **408**(6811):440-444.
- [8] Zacharias M, Heitmann J, Scholz R. Size-controlled highly luminescent silicon nanocrystals: A  $\text{SiO}/\text{SiO}_2$  superlattice approach [J]. *Appl. Phys. Lett.*, 2002, **80**(4):661-663.
- [9] Shimizu-Iwayama Tsutomu, Hole David E, Townsend Peter D. Light emission from ion beam induced silicon nanoclusters in silicon dioxide: Role of cluster-cluster interactions via a thin oxide [J]. *Nucl. Instrum. Meth. B*, 1999, **148** (1-4): 980-985.
- [10] Yi L X, Heitmann J, Scholz R, et al. Si rings, Si clusters, and Si nanocrystals-different states of ultrathin  $\text{SiO}_x$  layers [J]. *Appl. Phys. Lett.*, 2002, **81**(22):4248-4250.
- [11] Sui Yanping, Ma Zhongyuan, Chen Kunji, et al. The fabrication of nc-Si/ $\text{SiO}_2$  multilayers and blue-light emission [J]. *Acta. Phys. Sin.* (物理学报), 2003, **52**(4):989-992 (in Chinese).

# Influence of Sputtering Ar/O Proportion and Annealing Method on the Preparation and Photoluminescent Properties of Silicon Nanocrystals

HU Feng, YI Li-xin, WANG Shen-wei, GAO Hua, HE Zhen

(Key Laboratory of Luminescence and Optical Information, Ministry of Education,

Institute of Optoelectronic Technology, Beijing Jiaotong University, Beijing 100044, China)

**Abstract:** Because of the importance of controllable preparation of silicon nanocrystals (nc-Si), to obtain efficient and steady visible light-emitting at room temperature, we presented a preparation method of silicon nanocrystals based on amorphous SiO/SiO<sub>2</sub> superlattices in this paper. The samples were characterized by means of photoluminescence (PL) spectrum and Fourier transform infrared spectroum (FTIR) at room temperature to show the photoluminescent properties and structures. The SiO/SiO<sub>2</sub> superlattices were deposited on Si substrates by magnetron sputtering technology through varying the sputtering Ar/O proportion, as to deposit SiO layers and SiO<sub>2</sub> layers respectively. The silicon nanocrystals was prepared because of the phase separation of the thin SiO layers in the SiO/SiO<sub>2</sub> superlattices by a thermal annealing treatment at high temperature in N<sub>2</sub> atmosphere and the size of silicon nanocrystals depends on the thickness of the SiO layers. Then photoluminescence is observed at room temperature and a obvious red-shifts was observed in the photoluminescence spectra with the grain size increasing of the silicon nanocrystals. Combining infrared absorption and photoluminescence spectra, it is also found that the pipe furnace thermal annealing is more advantageous to the form of silicon nanocrystals than a rapid thermal annealing treatment.

**Key words:** silicon nanocrystals; superlattice; magnetron sputtering; thermal annealing

**CLC number:** O482.31

**PACS:** 78.55. Hx

**PACC:** 3250F; 7855

**Document Code:** A